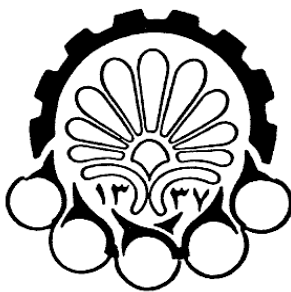


بِسْمِ اللّٰهِ الرَّحْمٰنِ الرَّحِيْمِ



دانشگاه صنعتی امیرکبیر

(پلی تکنیک تهران)

دانشکده مهندسی پلیمر

پایان نامه جهت اخذ درجه

کارشناسی ارشد مهندسی پلیمر - صنایع رنگ

عنوان

سنتر و بررسی سینیتیکی رزین های اپوکسی آکریلات

پخت شونده با UV

ارائه دهنده :

پونه کارد

اساتید راهنمای:

دکتر مرتضی ابراهیمی

دکتر سعید باستانی

مهر ۱۳۸۶

بسمه تعالی

شماره -----

تاریخ -----

معاونت پژوهشی

فرم پژوهه تحصیلات تکمیلی ۲

فرم اطلاعات پایان نامه

کارشناسی ارشد و دکترا



دانشگاه صنعتی امیر کبیر
(پلی تکنیک تهران)

مشخصات دانشجو

نام و نام خانوادگی: پونه کاردر

شماره دانشجویی: ۸۴۱۳۲۰۳۶ رشته تحصیلی: صنایع رنگ

نام و نام خانوادگی استاد راهنما: دکتر مرتضی ابراهیمی - دکتر سعید باستانی

عنوان به فارسی:

ستز و بررسی سینیتیکی رزین های اپوکسی اکریلات پخت شونده با UV

عنوان به انگلیسی:

Synthetic and kinetic study of UV-curable epoxy acrylate resins

کارشناسی ارشد ×
نوع پژوهه

<input type="checkbox"/> کاربردی	<input type="checkbox"/> توسعه ای	<input type="checkbox"/> بنیادی	<input type="checkbox"/> نظری	دکترا
تاریخ شروع: مهر ۱۳۸۵				تاریخ خاتمه: مهر ۱۳۸۶
تعداد واحد: ۹				

واژه های کلیدی به فارسی: پوشش های پخت شونده با UV-رزین های اپوکسی اکریلات.

واژه های کلیدی به انگلیسی:

UV-curable, epoxy acrylate, synthesis

نظر ها و پیشنهاد ها به منظور بهبود فعالیت های پژوهشی دانشگاه:

استاد راهنما:

دانشجو:

امضا استاد راهنما: تاریخ:

نسخه ۱: معاونت پژوهشی

نسخه ۲: کتابخانه و به انصمام دو جلد پایان نامه به منظور تسویه حساب با کتابخانه و مرکز استناد و مدارک علمی

+ تقدیم به همسرم که با صبوریهاش همواره همراه و یاریگر من در پیمودن مسیر دانش و اندیشه بوده است.

+ تقدیم به زحمتها و خستگیهای پدرم و تقدیم به فداکاریها و شبزنده‌داریهای مادرم که خود چون شمع سوختند تا سبب پیشرفت من شوند.

+ تقدیم به خواهر و برادر بسیار مهربانم که در تمام سختیها، حامی و پشتیبان من بوده‌اند.

قدر استاد نکو دانستن

هیف استاد به من یاد ندارد

با تقدیر و امتنان ویژه از اساتید بزرگوارم :

جناب آقای دکتر مرتضی ابراهیمی

و

جناب آقای دکتر سعید باستانی

که سایه حضور پربار و بی‌دربارشان، در لحظه لحظه‌های این
مسیر، محسوس بوده است.

سپاسگزاری

اکنون که نگارش این پایان‌نامه به اتمام رسیده است بر خود فرض می‌دانم که از تمامی کسانی که در این راه مرا یاری رسانیده‌اند تشکر و قدردانی نمایم.

از تمام همکارانم در پژوهشکده صنایع رنگ، سرکار خانم دکتر رنجبر، آقای مهندس جلیلی، خانم مهندس منتظری، خانم مهندس اشهری، آقای دکتر نجفی و آقای اعتمادی، که در هموار کردن مسیر پرفرزاو نشیب این پروژه نقش بسزایی داشتند، بینهایت سپاسگزارم.

از اساتید و دوستان خوبم در دانشکده پلیمر دانشگاه صنعتی امیرکبیر، جناب آقای دکتر محسنی، خانم مهندس سماعی، آقای مهندس والا، آقای مهندس امینی، آقای مهندس گنجایی، آقای مهندس مافی، آقای مهندس رمضانزاده، خانم مهندس فیلسفه، خانم مهندس جعفرزاده و خانم مهندس حیدری، به خاطر تمامی کمکهایشان قدردان و ممنونم.

از همکاری آقای مهندس مرادی از شرکت فرابنفش، آقای آذرانی و آقای مهندس حسینی از شرکت رنگسازی باشک، آقای مهندس جبروتی و خانم مهندس امیریان از شرکت فراتابش یزد، در تهیه مواد و تجهیزات این پروژه سپاسگزارم.

همچنین از دوستان بسیار خوبم خانم کشتکار و آقای مهندس صابری‌نیا که همیشه یاریگر و پشتیبان من بوده‌اند، بسیار متشرکرم.

پونه کاردar

۱۳۸۶ مهر

چکیده

استفاده از پوشش‌های تابش‌پز به دلیل سرعت فرآیند بالا، سازگاری با محیط زیست (درصد مواد فرار^۱ نزدیک به صفر و نیز کاهش مصرف انرژی) و خواص فیزیکی- مکانیکی بسیار خوب مانند مقاومت به خراش، به طور قابل توجهی افزایش یافته است. پوشش‌های اپوکسی‌اکریلات به دلیل خواص عالی، در سیستم‌های تابش‌پز بسیار مورد توجه قرار گرفته‌اند. به دلیل ویسکوزیته بالای این رزین‌ها، از رقیق‌کننده‌های فعال برای کاهش ویسکوزیته و همچنین بهبود واکنش‌های تشکیل اتصالات عرضی استفاده می‌شود.

از طرف دیگر، در سال‌های اخیر، ذرات نانو، جهت بهبود خواص فیزیکی مکانیکی (بخصوص مقاومت خراش)، در سیستم‌های پلیمری و نیز اینگونه رزین‌ها، مد نظر محققین دانشگاهی و صنعتی قرار گرفته است.

در این پژوهه، ابتدا رزین اپوکسی‌اکریلات با استفاده از رزین اپوکسی بیس‌فنول A (EEW=190) و اکریلیک‌اسید در حضور تری‌اتیل‌آمین، به عنوان کاتالیزور، در محدوده دمایی 60°C تا 90°C سنتز و سینیتیک آن بررسی شده است. برای مطالعه سینیتیک، از نسبت‌های مولی برابر گروه اپوکسی و کربوکسیلی استفاده شده است. سپس برای تعیین درجه واکنش نسبت به هر یک از واکنش‌دهنده‌ها، از روش فزونی (excess) استفاده شده است. سپس رزین سنتز شده، با مونومرهای تری‌متیلول‌پروپان‌تری‌اکریلات (TMPTA)، تری‌پروپیلین‌گلیکول‌دی‌اکریلات (TPGDA) و ۱۰-هگزان‌دی‌ال‌دی‌اکریلات در فرمولاسیون‌های متفاوت فرموله شده است. میزان مونومرهای HDDA، TPGDA، TMPTA، و رزین اپوکسی‌اکریلات در محدوده‌های $10\text{-}30\text{-}5$ و $30\text{-}5\text{-}40$ درصد وزنی انتخاب شده‌اند و به کمک طراحی آزمایش به روش مخلوط^۲، تاثیر نوع و میزان این رقیق‌کننده‌های فعال بر ویسکوزیته رزین و خواص فیزیکی- مکانیکی فیلم پختشده، مورد بررسی قرار گرفته است. برای بررسی چگونگی تاثیر ذرات نانو‌آلومینا

۱. VOC

۲. Mixture method

بر برخی خواص فیزیکی-مکانیکی مانند سختی، خراش و براقیت، ۴٪ سوسپانسیون حاوی ۳۰٪ نانوآلومینا در TPGDA (۱٪ جامد)، به دو فرمولاسیون افزوده شد. کلیه فرمولاسیون‌ها حاوی ۳٪ وزنی بنزووفون به عنوان آغازگر و ۰.۱ phr تریاتanol‌آمین به عنوان کمکآغازگر بوده و به مدت ۵ ثانیه در حضور اشعه ماوراء بنفس (UV) پخت شدند.

نتایج بدست آمده از مطالعات سینیتیکی نشان داده که واکنش گروه اپوکسی و گروه کربوکسیل در حضور کاتالیزور تریاتیل‌آمین، از درجه یک بوده و انرژی اکتیواسیون حدود 46 kJ mol^{-1} ضریب برخورد حدود $10^5 \text{ min}^{-1} * \frac{9}{2}$ می‌باشد. همچنین درجه جزیی واکنش نسبت به گروههای اپوکسی و اسیدی به ترتیب صفر و یک بدست آمد. ویسکوزیته فرمولاسیون‌های تهیه شده، با افزودن مونومرهای اکریلاتی بخصوص HDDA و TPGDA به شدت کاهش یافت. نتایج نشان داد که با افزایش میزان TMPTA سختی فیلم تشکیل شده افزایش می‌یابد. همچنین مشاهده شد که با افزودن ذرات نانوآلومینا، رویت خراش کاهش یافته و مقاومت پوشش‌ها در برابر خراش افزایش می‌یابد. در ضمن افزودن ذرات نانوآلومینا تاثیر چندانی بر خواص نوری نمونه‌ها اعم از براقیت و شفافیت نداشت.

واژه‌های کلیدی: پوشش‌های پخت‌شونده با UV-رزین‌های اپوکسی‌اکریلات - سنتز و بررسی سینیتیکی - فرمولاسیون - نانوآلومینا

پیشگفتار

در سال‌های اخیر، استفاده از پوشش‌های پخت‌شونده با UV به طور قابل توجهی افزایش یافته است.

در صد مواد آلی فرار^۱ این پوشش‌ها بسیار پایین (تقریباً صفر) بوده و مصرف انرژی بسیار کمی دارند.

بنابراین به عنوان یکی از پوشش‌های زیست‌سازگار شناخته شده‌اند. برای رقیق‌کردن این مواد پوششی، از مونومرهای فعال استفاده می‌شود به همین دلیل این پوشش‌ها دارای دانسیته شبکه‌ای شدن بسیار بالا بوده و به این ترتیب خواص مکانیکی مطلوبی از جمله، مقاومت خراش و مقاومت سایشی بالا از خود نشان دادند.

الیگومرهای اپوکسی‌آکریلات، به دلیل ویژگی‌های مطلوب رزین‌های اپوکسی و آکریلیک، در بین سیستم‌های پخت‌شونده با UV بسیار مورد توجه قرار گرفته‌اند. این الیگومر، یک رزین ویسکوز با حلalیت بالا در مونومرهای آکریلاتی بوده که فیلم‌هایی سخت با مقاومت شیمیایی بالا می‌دهد. از این‌رو سنتز و تهیه فرمولاسیون بهینه این الیگومر، بسیار حائز اهمیت می‌باشد.

از سال ۱۹۹۲ به بعد تحقیقات عمده‌ای برای گسترش زمینه کاربردی پوشش‌های پخت‌شونده با UV انجام گرفته است و عمدتاً سعی در رفع موانع جهت توسعه کاربردی این نوع پوشش‌ها بوده است. در سال ۱۹۹۸، Zwanenburg [۴۴] و همکارانش تاثیر مونومرهای مختلف را روی رزین اپوکسی-اکریلات تابش‌پز بررسی کرده و فرمولاسیون‌های مختلفی را با ۲۵ نوع مونومر ارائه داده و خواص فیزیکی مکانیکی آنها را بررسی کردند. در سال ۲۰۰۲، M.Bajpai [۱۴] و همکارانش نوولاک سنتز کرده و اکریلات پخت‌شونده با UV را بر پایه رزین‌های اپوکسی بیس فنل A و اپوکسی نوولاک سنتز کرده با TMPTA (تری متیول پروپان تری اکریلات)، PETA (پنتا اریتریتول تری اکریلات)، NVP-N (VOC) و آغازگر α و α-اتوکسی استوفنون پخت کردند. این محققین تاثیر میزان آغازگر، وینیل پیرولیدل) و آغازگر α و α-اتوکسی استوفنون پخت کردند. این محققین تاثیر میزان آغازگر، شدت تابش و زمان تابش را بر خواص مکانیکی و شیمیایی این پوشش‌ها بررسی کردند. در تحقیقاتی

دیگر در سال ۲۰۰۵ توسط D.k.Chattopadhyay [۴۶]، رزین اپوکسی اکریلات سنتز شده با درصدهای متفاوتی از TMPTA پخت شده و خواص فیزیکی مکانیکی کلیه فرمولاسیون‌ها از جمله سایش، انعطاف‌پذیری، سختی مدادی، Tg، Tensile بررسی شدند.

با رشد و توسعه فن‌آوری استفاده از ذرات نانو در پوشش‌های سطح، استفاده از این ذرات در پوشش‌های تابش‌پز نیز مورد توجه قرار گرفت. از جمله دلایل این توجه ویژه می‌توان به بهبود خواصی مانند مقاومت در برابر خش و خراش، مقاومت سایشی بالا، مقاومت در برابر خوردگی و همچنین خواص مکانیکی که به کمک این فن‌آوری در پوشش‌ها حاصل می‌شود، اشاره کرد. در سال ۲۰۰۵، J. Hajas و همکارانش [۴۷]، اثرات نانو آلومینا و نانو سیلیکا را در پوشش‌های چوب پخت‌شونده با UV بررسی کردند. اما کارهای منتشر شده اعم از مقالات و ثبت اختراعات بیشتر جنبه تجاری داشته و بطور علمی کمتر مورد بررسی واقع شده است.

در این پژوهه سعی شده است تا با امکانات و مواد قابل دسترسی در داخل، رزین اپوکسی اکریلات پخت‌شونده با UV سنتز و سینیتیک واکنش شیمیایی آن نیز بررسی شود. رزین سنتز شده با مونومرهای چندعاملی با ساختارهای شیمیایی متفاوت با استفاده از طراحی آزمایش روش مخلوط با استفاده از نرمافزارهای آماری، فرموله شده است. در روش مخلوط، بر خلاف روش‌های کلاسیک گذشته، نه تنها تاثیر تک تک پارامترها بر خواص نهایی رزین قابل بررسی است، بلکه می‌توان تاثیر دو یا چند پارامتر را همزمان نیز بررسی نمود، به این ترتیب می‌توان ترکیبات مناسب جهت کاربردهای نهایی مختلف پوشش‌های تابش‌پز را پیش‌بینی، و مناطق اپتیمم خواص را بدست آورد.

از آنجا که یکی از ویژگی‌های شاخص پوشش‌های تابش‌پز، مقاومت خراش بالای آنهاست، در این پژوهه روی این ویژگی پوشش‌ها مطالعاتی انجام شده و با افزودن نانوآلومینا در فرمولاسیون نهایی، مقاومت به خراش این پوشش‌ها با آزمون‌های ماکرو و نانومورد بررسی و تحلیل قرار گرفته است.

فهرست مطالب

صفحه	عنوان
	۱- مطالعات کتابخانه‌ای
۱	۱-۱- سنتز رزین اپوکسی اکریلات.....
۲	۱-۱-۱- واکنشگرهای.....
۲	۱-۱-۱-۱- ترکیبات اپوکسی.....
۳	۱-۱-۱-۱-۱- اسیدهای کربوکسیلیک.....
۳	۱-۱-۱-۱-۲- نسبت واکنشگرهای.....
۴	۱-۱-۱-۱-۳- کاتالیست.....
۴	۱-۱-۱-۱-۴- بازدارنده.....
۵	۱-۱-۱-۱-۵- حلال و رقیق کننده.....
۵	۱-۱-۱-۱-۶- دمای واکنش.....
۵	۱-۱-۱-۱-۷- فشار واکنش.....
۵	۱-۱-۱-۱-۸- اتمسفر واکنش.....
۶	۱-۱-۱-۱-۹- زمان اختتام واکنش.....
۶	۱-۱-۱-۱-۱۰- انحلال و نگهداری رزین اپوکسی اکریلات سنتز شده.....
۸	۱-۱-۱-۱-۱۱- واکنش رزین اپوکسی و اسید.....
۹	۱-۱-۱-۱-۱۲- انتخاب پذیری و تنظیم شرایط واکنش رزین اپوکسی و اسید در حضور کاتالیست
۱۱	۱-۱-۱-۱-۱۳- رزین های وینیل استر اپوکسی متاکریلات و اپوکسی اکریلات.....
۱۲	۱-۱-۱-۱-۱۴- شناسایی رزین اپوکسی اکریلات.....
۱۳	۱-۱-۱-۱-۱۵- طیف سنجی مادون قرمز (Infrared Spectroscopy).....
۱۴	۱-۱-۱-۱-۱۶- استفاده از طیف مادون قرمز در شناسایی رزین اپوکسی اکریلات.....
۱۴	۱-۱-۱-۱-۱۷- سینتیک واکنش های شیمیایی.....
۱۵	۱-۱-۱-۱-۱۸- مشخص کردن سرعت واکنشهای متجانس.....
۱۶	۱-۱-۱-۱-۱۹- واکنشهای ابتدایی و غیرابتدایی.....
۱۶	۱-۱-۱-۱-۲۰- مولکولاریته و درجه واکنش.....
۱۷	۱-۱-۱-۱-۲۱- تأثیر کاتالیزور بر سرعت واکنش.....
۱۷	۱-۱-۱-۱-۲۲- تعیین معادله سرعت واکنش از داده های تجربی.....
۱۸	۱-۱-۱-۱-۲۳- وابستگی سرعت واکنش به غلاظت.....
۱۸	۱-۱-۱-۱-۲۴- روش انتگرال.....
۱۸	۱-۱-۱-۱-۲۵- روش دیفرانسیل.....
۱۹	۱-۱-۱-۱-۲۶- روش فزونی (excess).....
۲۰	۱-۱-۱-۱-۲۷- وابستگی سرعت واکنش به دما.....
۲۰	۱-۱-۱-۱-۲۸- مروری بر تحقیقات انجام شده پیرامون سینتیک واکنش های گروه های کربوکسیلی و اپوکسی
۲۵	۱-۱-۱-۱-۲۹- پخت و فرمولاسیون رزین های اپوکسی اکریلات.....

فهرست مطالب

صفحه	عنوان
۲۵	-۱-۲-۱- سیستم‌های شیمیایی مورد استفاده در تابش‌پزها.....
۲۵	-۱-۱-۲-۱- سیستم‌های آکریلاتی و متاکریلاتی.....
۲۹	-۱-۱-۲-۱- شروع پخت تابش‌پز با رادیکال‌های آزاد.....
۳۳	-۲-۱-۲-۱- سیستم‌های کاتیونی.....
۳۴	-۲-۲-۱- کاربردهای صنعتی سیستم‌های تابش‌پز.....
۳۴	-۱-۲-۲-۱- پوشش‌های تابش‌پز.....
۳۵	-۲-۲-۲-۱- جوهرهای تابش‌پز.....
۳۵	-۳-۲-۲-۱- چسبهای تابش‌پز.....
۳۵	-۳-۲-۱- فرمولاسیون پوشش‌های تابش‌پز.....
۳۶	-۱-۳-۲-۱- رقیق‌کننده‌های فعال.....
۳۷	-۱-۳-۲-۱- عاملیت مونومرهای آکریلاتی
۳۷	-۲-۱-۳-۲-۱- فاکتورهای موثر در انتخاب مونومرها.....
۳۹	-۲-۳-۲-۱- شروع کننده‌ها، سینرژیستها و واکنش‌های فتوشیمیایی.....
۴۰	-۳-۳-۲-۱- نوع لامپ.....
۴۰	-۴-۳-۲-۱- انتخاب پیگمنت.....
۴۱	-۵-۳-۲-۱- افزودنی‌ها.....
۴۱	-۴-۲-۱- تاثیر ذرات نانوآلومینا بر روی پوشش‌های اپوکسی‌اکریلات تابش‌پز.....
۴۲	-۱-۴-۲-۱- بررسی فرآیندهای خراش.....
۴۳	-۱-۴-۲-۱- تست‌های خراش تک نقطه‌ای.....
۴۵	Nano Indentation -۲-۴-۲-۱
۴۸	-۵-۲-۱- مروری بر تحقیقات انجام شده.....
	۲- کارهای آزمایشگاهی
۵۱	-۱-۲- سنتز رزین.....
۵۱	-۱-۱-۲- مواد مورد استفاده در سنتز رزین.....
۵۱	-۱-۱-۱-۲- رزین اپوکسی.....
۵۲	-۱-۱-۲-۲- اسید کربوکسیلیک غیر اشباع.....
۵۲	-۱-۱-۲-۳- کاتالیست.....
۵۳	-۱-۱-۲-۴- بازدارنده.....
۵۳	-۱-۱-۲-۵- مواد مورد استفاده در آزمون‌ها.....
۵۳	-۱-۱-۲-۵-۱- آزمون تعیین EEW رزین اپوکسی.....
۵۴	-۱-۱-۲-۵-۲- آزمون تعیین ارزش اسیدی.....
۵۴	-۲-۱-۲- تجهیزات مورد استفاده در سنتز رزین.....
۵۵	-۳-۱-۲- تجهیزات مورد استفاده در آزمون‌ها.....

فهرست مطالب

صفحه	عنوان
۵۵	-۱-۳-۱-۲- آزمون های تیترومتری
۵۵	-۲-۳-۱-۲- آزمون شناسایی رزین به روش طیف سنجی FTIR
۵۵	-۳-۳-۱-۲- آزمون تعیین ویسکوزیته رزین
۵۵	-۴-۳-۱-۲- آزمون تعیین دانسیته رزین
۵۶	-۴-۱-۲- Set up - تجهیزات و روش انجام واکنش سنتز رزین اپوکسی اکریلات.
۵۸	-۱-۱-۲- روش شناسایی رزین اپوکسی اکریلات سنتز شده به کمک طیف سنجی FTIR
۵۹	-۶-۱-۲- روش بررسی سینتیک واکنش سنتز رزین اپوکسی اکریلات
۶۰	-۷-۱-۲- روش انجام آزمون های تیتروسیون و تعیین خواص رزین
۶۰	-۱-۷-۱-۲- روش آزمون تعیین EEW رزین اپوکسی
۶۱	-۲-۷-۱-۲- روش آزمون تعیین ارزش اسیدی
۶۲	-۱-۲-۷-۱-۲- روش تعیین درصد جامد
۶۲	-۲-۲-۷-۱-۲- آزمون تعیین ارزش اسیدی
۶۴	-۲-۲- فرمولاسیون و پخت رزین
۶۴	-۱-۲-۲- مواد مورد استفاده در فرمولاسیون و پخت رزین
۶۴	-۱-۱-۲-۲- رقیق کننده های فعال
۶۵	-۲-۱-۱-۲- آغازگر
۶۵	-۳-۱-۲-۲- کمک آغازگر
۶۵	-۴-۱-۲-۲- افروندی نانوآلومینا
۶۶	-۲-۲-۲- تجهیزات مورد استفاده در تهیه فرمولاسیون
۶۶	-۳-۲-۲- تجهیزات مورد استفاده در تهیه فیلم
۶۶	-۴-۲-۲- تجهیزات مورد استفاده در پخت فیلم
۶۶	-۵-۲-۲- آزمون های تعیین خواص فیزیکی- مکانیکی پوشش نهایی
۶۷	-۶-۲-۲- روش پخت رزین اپوکسی اکریلات
۶۸	-۷-۲-۲- روش بررسی پارامترهای مؤثر در فیلم
۶۹	-۸-۲-۲- روش تهیه فیلم
۷۰	-۹-۲-۲- روش انجام آزمون های کنترل کیفی فیلم پخت شده
۷۰	-۱-۹-۲-۲- آزمون ماده پوششی تر
۷۰	-۱-۹-۲-۲- ویسکوزیته
۷۱	-۲-۹-۲-۲- آزمون های فیلم خشک
۷۱	-۱-۲-۹-۲-۲- آزمون ارزیابی سختی
۷۲	-۲-۲-۹-۲-۲- آزمون ارزیابی میزان مقاومت در برابر خراش توسط مداد
۷۲	-۳-۲-۹-۲-۲- آزمون گرماسنجی رویشی تفاضلی
۷۳	-۴-۲-۹-۲-۲- آزمون nano indentation

فهرست مطالب

صفحه	عنوان
۷۳	۵-۲-۹-۲-۲- آزمون ارزیابی برآقیت
	۳- نتایج و بحث
۷۴	۳-۱- نتایج مربوط به بخش سنتز و بررسی سینیتیکی رزین اپوکسی اکریلات
۷۴	۳-۱-۱- نتایج آزمون تعیین EEW رزین اپوکسی
۷۴	۳-۱-۲- نتایج شناسایی رزین اپوکسی اکریلات سنتز شده به روش طیف سنجی FTIR
۷۵	۳-۱-۲-۱-۱- نتایج طیف رزین اپوکسی EPICOTE 828
۷۶	۳-۱-۲-۲-۱-۱- نتایج طیف اکریلیک اسید
۷۸	۳-۱-۲-۳- نتایج طیف رزین اپوکسی اکریلات سنتز شده
۸۰	۳-۱-۳- دانسیته رزین اپوکسی اکریلات
۸۰	۳-۴- ویسکوزیته رزین اپوکسی اکریلات
۸۱	۳-۵- نتایج بررسی سینیتیکی واکنش سنتز رزین اپوکسی اکریلات
۸۱	۳-۵-۱- نتایج تغییرات ارزش اسیدی (AV) در خال و واکنش سنتز رزین
۸۷	۳-۶-۱- نتایج تعیین پارامترهای سینیتیکی واکنش سنتز
۸۸	۳-۶-۱-۱- نتایج شرایط استوکیومتری
۸۸	۳-۶-۱-۲- نتایج روش دیفرانسیلی
۹۲	۳-۶-۱-۳- نتایج روش انگرالی
۹۴	۳-۶-۲- نتایج شرایط غیر استوکیومتری (روش فرونی)
۹۵	۳-۶-۳- نتایج تعیین انرژی اکتیواسیون
۹۷	۳-۲- نتایج مربوط به پخت رزین اپوکسی اکریلات
۹۷	۳-۱-۲-۳- بررسی خواص مکانیکی با استفاده از طراحی آزمایش به روش مخلوط
۹۹	۳-۱-۲-۳- مطالعه و بررسی پاسخ ویسکوزیته
۱۰۳	۳-۱-۲-۳- بررسی و مطالعه پاسخ مقاومت در برابر خراش
۱۰۷	۳-۱-۲-۳- مطالعه و بررسی پاسخ Tg و سختی Indentation
۱۱۳	۳-۲-۲-۳- بررسی تاثیر ذرات نانوآلومینا بر خواص فیزیکی-مکانیکی فیلم پخت شده
۱۱۳	۳-۲-۲-۳- تاثیر ذرات نانوآلومینا بر مقاومت خراش
۱۱۴	۳-۲-۲-۳- تاثیر ذرات نانو آلومینا بر مقاومت خراش توسط مداد
۱۱۴	۳-۲-۲-۴- تاثیر ذرات نانو آلومینا بر مقاومت خراش با استفاده از Nano scratch tester
۱۱۷	۳-۲-۲-۲-۳- تاثیر حضور ذرات نانوآلومینا بر سختی
۱۱۸	۳-۲-۲-۲-۳- بررسی تاثیر ذرات نانو آلومینا بر سختی کونیگ
۱۱۸	۳-۲-۲-۲-۳- بررسی تاثیر حضور ذرات نانو بر سختی indentation با استفاده از دستگاه nano indentation hardness
۱۲۱	۳-۲-۲-۳- تاثیر ذرات نانو آلومینا بر خواص نوری

فهرست مطالب

صفحه	عنوان
	٤- نتیجه‌گیری و پیشنهادات
١٢٣	١-٤- نتیجه‌گیری
١٢٥	٤- پیشنهادات
	٥- مراجع
	٦- ضمایم

فهرست جداول

صفحه	عنوان
۲۷	جدول ۱-۱ - آكريلاتهاي دواعمالی و چند عاملی
۲۸	جدول ۱-۲- ساختار شيميايي اليلگومرهای اکريلاتي
۵۱	جدول ۱-۳- مشخصات رزبن اپوكسی EPICOTE 828
۵۲	جدول ۲-۱- مشخصات اکريليك اسيد
۵۲	جدول ۲-۲- مشخصات کاتاليزور ترى اتيل آمين
۵۳	جدول ۲-۳- مشخصات بازدارنده هيدروکينون
۵۹	جدول ۲-۴- مشخصات شرياط واكنش سنتز اليلگومر اپوكسی آكريلات
۶۴	جدول ۲-۵- وزن نمونه لازم جهت اندازه گيري عدد اسيدي با توجه به محدوده عدد اسيدي
۶۵	جدول ۲-۶- مشخصات ماده افزودنی NANOBYK3601
۶۶	جدول ۲-۷- مشخصات تجهيزات مورد استفاده در تهيه فيلم
۶۷	جدول ۲-۸- تجهيزات تعين خواص فيزيكي- مكانيكي
۶۹	جدول ۲-۹- سطوح غلاظت مواد بر حسب درصد وزني
۷۶	جدول ۳-۱- نتایج طيف رزبن اپوكسی EPICOTE 828
۷۷	جدول ۳-۲- نتایج طيف اکريليك اسيد
۷۹	جدول ۳-۳- نتایج طيف رزبن اپوكسی اکريلات
۸۱	جدول ۳-۴- نتایج ويسبکوزيت رزبن اپوكسی اکريلات
۸۳	جدول ۳-۵- نتایج مقادير ارزش اسيدي و ميزان تبديل (دمای واکنش: 60°C)
۸۴	جدول ۳-۶- نتایج مقادير ارزش اسيدي و ميزان تبديل (دمای واکنش: 70°C)
۸۵	جدول ۳-۷- نتایج مقادير ارزش اسيدي و ميزان تبديل (دمای واکنش: 80°C)
۸۶	جدول ۳-۸- نتایج مقادير ارزش اسيدي و ميزان تبديل (دمای واکنش: 90°C)
۹۲	جدول ۳-۹- نتایج رگرسيون خطی نموذارهای روش ديفرانسيلى
۹۳	جدول ۳-۱۰- نتایج رگرسيون خطی نموذارهای روش انتگرالي
۹۶	جدول ۳-۱۱- مقادير انرژي اكتيواسيون و ضريب بربور و واكنش
۹۷	جدول ۳-۱۲- خواص فيزيكي- مكانيكي فيلمهای پختشده فرمولاتسيونهای مختلف رزبن اپوكسی اکريلات
۹۸	جدول ۳-۱۳- نمایی از پارامترهای اساسی و نوع پاسخهای بدستآمده در طراحی آزمایش مخلوط
۹۹	جدول ۳-۱۴- آناليز ANOVA برای پاسخ ويسبکوزيت
۱۰۰	جدول ۳-۱۵- مدل کاهشی حاصل از آناليز ANOVA به روش backward برای پاسخ ويسبکوزيت
۱۰۳	جدول ۳-۱۶- آناليز ANOVA برای پاسخ خراش
۱۰۴	جدول ۳-۱۷- مدل کاهشی حاصل از آناليز ANOVA به روش backward برای پاسخ خراش
۱۰۷	جدول ۳-۱۸- آناليز ANOVA برای پاسخ سختي Indentation
۱۰۸	جدول ۳-۱۹- آناليز ANOVA برای پاسخ Tg
۱۱۳	جدول ۳-۲۰- مقاومت خراش نمونهها با ذرات نانوآلومينا و بدون آن

فهرست جداول

صفحه	عنوان
۱۱۸	جدول ۳-۲۱- نتایج سختی کوئیگ و سختی indentation نمونه‌ها پس از افزودن ذرات نانو آلومینا و بدون آن.....
۱۲۰	جدول ۳-۲۲- داده‌های مربوط به سختی indentation، پلاستیسیته، الاستیسیته، مدول کاهشی و Tg
۱۲۲	جدول ۳-۲۲- نتایج برآقیت و مهندسی نمونه‌ها پس از افزودن ذرات نانو آلومینا و بدون آن.....

فهرست شکل‌ها

صفحه	عنوان
۱	شکل ۱-۱- رزین اپوکسی اکریلات
۱۰	شکل ۲-۱- مکانیزم عملکرد کاتالیست بازی و تشکیل آنیون های آلکوکسید و کربوکسیلات.....
۱۲	شکل ۳-۱- واکنش تهیه اپوکسی اکریلات.....
۱۴	شکل ۴-۱- نواحی جذب پیوندهای مختلف.....
۲۲	شکل ۵-۱ : مکانیزم استریفیکاسیون رزین اپوکسی از طریق آغاز با کمپلکس اسید - کاتالیست.....
۲۳	شکل ۶-۱: مکانیزم استریفیکاسیون رزین اپوکسی از طریق آغاز با کمپلکس دیمر اسید - کاتالیست.....
۲۶	شکل ۷-۱- فرایند پخت با UV.....
۳۰	شکل ۸- پلیمریزاسیون رادیکالی و یونی و شبکه‌ای شدن در اکریلاتها.....
۳۱	شکل ۹- چگونگی تشکیل رادیکال آزاد از یک شروع کننده نوری.....
۳۲	شکل ۱۰-۱a- مثال‌هایی از شروع کننده نوع I.....
۳۲	شکل ۱۰-۱b- مثال‌هایی از شروع کننده نوع II.....
۳۳	شکل ۱۱-۱- مراحل پلیمریزاسیون رادیکالی.....
۴۳	شکل ۱۲-۱- بازگشت خراش <i>ductile</i> با دما و زمان.....
۴۳	شکل ۱۳-۱- تصویر شماتیکی ابزار خراش و Indentation.....
۴۴	شکل ۱۴-۱- نمایش نیروهای مختلف خراش.....
۴۵	شکل ۱۵-۱- نمایش شماتیکی پروفایل خراش.....
۴۶	شکل ۱۶-۱- نمایش شماتیک نیروی اعمال شده بر حسب جابجایی.....
۴۷	شکل ۱۷-۱- ژئومتری تماس در ماکریم نیرو.....
۵۶	شکل ۱-۲- نمایی از set up سنتز رزین اپوکسی اکریلات.....
۷۶	شکل ۱-۳- طیف FTIR رزین اپوکسی EPICOTE 828 درصد انتقال بر حسب عدد موجی (cm ⁻¹).....
۷۷	شکل ۲-۳- طیف FTIR اکریلیک اسید، درصد انتقال بر حسب عدد موجی (cm ⁻¹).....
۷۸	شکل ۳-۳- طیف FTIR رزین اپوکسی اکریلات، درصد انتقال بر حسب عدد موجی (cm ⁻¹).....
۸۶	شکل ۴-۳- نمودار تغییرات ارزش اسیدی بر حسب زمان واکنش در دماهای مختلف.....
۹۰	شکل ۵-۳- نمودار روش دیفرانسیلی(دمای واکنش: ۶۰ oC).....
۹۱	شکل ۶-۳- نمودار روش دیفرانسیلی(دمای واکنش: ۷۰ oC).....
۹۱	شکل ۷-۳- نمودار روش دیفرانسیلی(دمای واکنش: ۸۰ oC).....
۹۱	شکل ۸-۳- نمودار روش دیفرانسیلی(دمای واکنش: ۹۰ oC).....
۹۳	شکل ۹-۳- نمودار روش انتگرالی.....
۹۴	شکل ۱۰-۳- نمودار روش انتگرالی در شرایط غیر استوکیومتری (E/A= 10).....
۹۴	شکل ۱۱-۳- نمودار روش انتگرالی در شرایط غیر استوکیومتری (E/A= 0.1).....
۹۶	شکل ۱۲-۳- نمودار رابطه آرنیوسی.....
۱۰۰	شکل ۱۳-۳- تصویر دو بعدی چگونگی تاثیر غلظت مونومرهای آکریلاتی بر ویسکوزیته.....

فهرست شکل‌ها

عنوان	صفحه
شکل ۱۴-۳- تصویر سه بعدی چگونگی تاثیر غلظت مونومرهای آکریلاتی بر ویسکوزیته	۱۰۱
شکل ۱۵-۳- نمودار Trace هر یک از پارامترهای موثر بر ویسکوزیته رزین اپوکسی آکریلات	۱۰۲
شکل ۱۶-۳- تصویر سه بعدی تاثیر غلظت مونومرهای آکریلاتی بر مقاومت به خراش	۱۰۴
شکل ۱۷-۳- یک مثال از مقدار اجزای فرمولاسیون در منطقه ماکریزم مقاومت خراش	۱۰۶
شکل ۱۸-۳- نمودار Trace هر یک از پارامترهای موثر بر مقاومت به خراش رزین اپوکسی آکریلات	۱۰۶
شکل ۱۹-۳- تصویر سه بعدی چگونگی تاثیر غلظت مونومرهای آکریلاتی بر سختی	۱۰۹
شکل ۲۰-۳- تصویر سه بعدی چگونگی تاثیر غلظت مونومرهای آکریلاتی بر T_g	۱۰۹
شکل ۲۱-۳- مقدار اجزای فرمولاسیون در منطقه ماکریزم سختی	۱۱۱
شکل ۲۲-۳- مقدار اجزای فرمولاسیون در منطقه ماکریزم T_g	۱۱۱
شکل ۲۳-۳- نمودار Trace هر یک از پارامترهای موثر بر سختی رزین اپوکسی آکریلات	۱۱۲
شکل ۲۴-۳- نمودار Trace هر یک از پارامترهای موثر بر T_g رزین اپوکسی آکریلات	۱۱۲
شکل ۲۵-۳- تصویر خراش نمونه بدون ذرات نانوآلومینا	۱۱۴
شکل ۲۶-۳- تصویر خراش نمونه حاوی ذرات نانوآلومینا	۱۱۴
شکل ۲۷-۳- تصویر شماتیک مسیر خراش با وجود ذرات نانوآلومینا	۱۱۵
شکل ۲۸-۳- تصویر پروفایل کف خراش نمونه بدون ذرات نانوآلومینا	۱۱۵
شکل ۲۹-۳- تصویر پروفایل کف خراش نمونه حاوی ذرات نانوآلومینا	۱۱۵
شکل ۳۰-۳- نمودار نیروی افقی خراش بر حسب زمان برای نمونه حاوی ذرات نانوآلومینا	۱۱۷
شکل ۳۱-۳- نمودار نیروی افقی خراش بر حسب زمان برای نمونه بدون ذرات نانوآلومینا	۱۱۷
شکل ۳۲-۳- نمودار نیرو-جابجایی نمونه بدون ذرات نانوآلومینا	۱۱۹
شکل ۳۳-۳- نمودار نیرو-جابجایی نمونه با ذرات نانوآلومینا	۱۱۹
شکل ۳۴-۳: نمودار شفافیت نمونه حاوی ذرات نانوآلومینا و بدون آن	۱۲۱

مطالعات کتابخانه‌ای



فصل اول